

단일 에탈론을 이용한 도플러 이중경계 도플러 파장 이동 측정 장치 설계 및 검증

Designing measuring of the single etalon double edge for doppler wavelength shift measuring system

김덕현, 차형기, 양기호, 선우정혜*, 김용기*

한국원자력연구원, 양자광학기술개발센터, *한공주대학교 물리학과,

dhkim3@kaeri.re.kr

레이저를 이용하여 물체나 공기의 이동을 원격으로 측정하는 장치는 Korb가 경계필터를 이용한 방법을 제시한 이래로 많은 방법들이 개발되어 사용되고 있다. 그 중에서 금속증기 필터를 이용하는 방법⁽¹⁾과 에탈론⁽²⁾을 이용하는 방법이 가장 대표적인 방법이나, 최근에는 화이버회절판(fiber grating)⁽³⁾을 이용하는 방법도 제시되고 있다. 이러한 방법들은 모두 도플러 파장 이동을 투과도 변화로 바꾸어서 측정하고 있으며, 수신 장치의 핵심은 파장 이동에 대한 민감도(sensitivity)를 높이는 일이다. 일반적으로 금속증기 필터는 금속 증기의 흡수선의 끝 자락 즉 경계에 레이저의 파장을 고정시키고 파장 변화에 따라 흡수도가 커지거나 작아지는 효과를 측정하고, 에탈론을 사용할 경우에도 같은 방법으로 에탈론의 투과도가 50 % 인 지점에 레이저를 고정(locking)시키고 투과도를 측정한다. 감도를 높이기 위하여 수신되는 두개의 에탈론을 사용하는 방법이 제시되고 있으나⁽⁴⁾, 이러한 용도로 사용되는 에탈론은 일반적으로 $\lambda/100$ 정도로 평편도가 좋고 평행도가 $\lambda/50$ 정도로 좋은 에탈론이 사용되기 때문에 고가이고 서로 다른 에탈론을 사용할 경우 온도제어, 각도 제어 등 제어 변수가 독립적이기 때문에 설계가 까다롭다. 본 연구에서는 하나의 에탈론으로 Korb가 제안한 것과 같은 이중 경계필터의 성능을 지닌 장치를 개발함으로써 고가의 에탈론을 하나로 대체하고, 하나의 에탈론에 광학계를 설치함으로써 온도나 방향 제어 등의 제어 변수를 줄이고자 하였다.

그림 1 은 하나의 에탈론으로 두 개의 경계 필터를 구성하기 위한 장의 개념도를 나타낸 것이다. 먼저 움직이는 물체에서 산란된 도플러 파장 이동된 신호는 렌즈나 기타 광학계를 통하여 평행광으로 된 후 그림 1 처럼 $\lambda/2$ wave plate를 통하여 설계된 광학계로 입력된다. $\lambda/2$ wave plate 는 일반적으로 편광된 산란 신호를 적절히 그 방향을 회전 시켜서 PB(Polarization Beam splitter)에서 50 % 반사가 되고 나머지는 투과하도록 하기 위함이다. 빔분학기(PB)를 통하여 두 경로로 나누어진 빛은 다시 PB에 의하여 하나의 경로로 되고 그 경로에 놓인 에탈론으로 입사된다. 에탈론으로 입사되는 빛의 각도는 거울과 PB에 의하여 적절히 그 각도를 제어할 수 있다. 그림 2 는 에탈론으로 입사되는 빛의 각도를 절절히 제어하고 레이저의 파장을 주사(scanning)했을 때 나타나는 전형적인 투과 특성이다. 그림에서 알 수 있듯이 두 경로에 해당하는 빛의 투과도는 파장에 따라서 다른 투과 특성을 지닌다. 그림 3 은 그림 2 와 같은 이러한 투과 특성에서 레이저의 파장에 따른 필터의 투과도 변화 즉 감도(sensitivity)를 나타낸 것이다. 그림에서 알 수 있듯이 감도는 투과도의 변화가 가장 심한 경계면에 있을을 알 수 있다. 그림 4 는 도플러 파장 변화에 따른 이러한 투과도의 변화를 극대화 시키기 위하여 사용되는 레이저의 파장의 조건을 보여준다. 그림과 같이 레이저의 파장을 안정화 시키고 그 산산된-파장 이동된 빛을 수신하게 되면, 하나의 채널에서는(s1) 투과도가 증가하면 다른 하나의 채널(s2)에서는 신호가 감소하여 감도가 두 배로 증가한다는 것을 알 수 있다. 본 연구에서는 이러한 파장변화를 감지하는 단일 에탈론 이중 경계필터를 구성하고 움직이는 물체에서 그 투과 특성을 살폈다.

본 연구는 기상지진기술개발사업(CATER-2006-3101)의 지원으로 수행되었습니다.

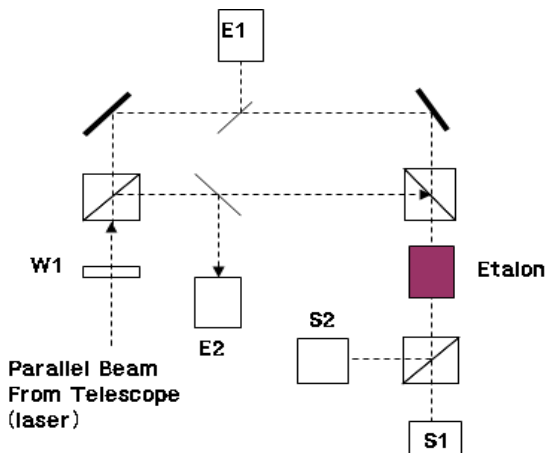


그림 1. 하나의 에탈론으로 구성된 이중 경계 필터의 구성도

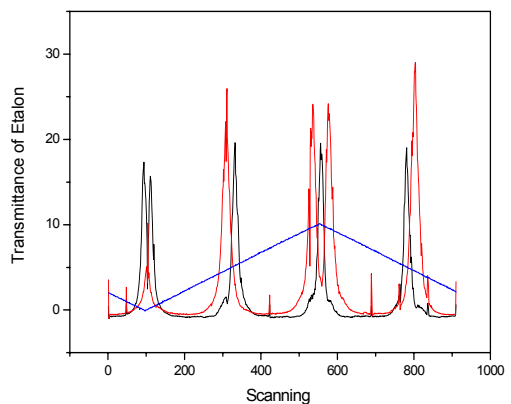


그림 2. 하나의 에탈론에서 얻어지는 두지 다른 투과 특성

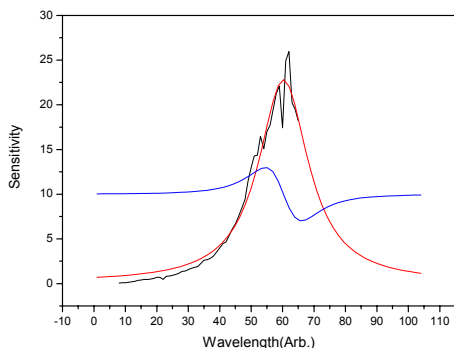


그림 3. 필터의 투과 특성 및 도플러 파장이동에 따른 감도

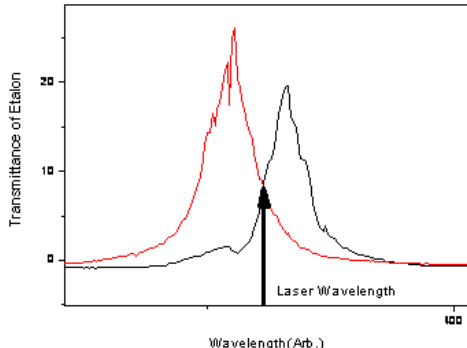


그림 4. 이중필터의 투과도와 사용되는 레이저의 파장

- [1] Z. Liu, D. Wu, J. Liu, K. Zhang, W..Chen, X. Song, J. W. Hair, and C. She, "Low-altitude atmospheric wind measurement from the combined Mie and Rayleigh backscattering by Doppler lidar with an iodine filter" *Applied Optics*, Vol. 41, 7079(2002)
- [2] C. L. Korb, B. M. Gentry, S. X. Li, and C. Flesia, "theory of the double-edge technique for Doppler lidar wind measurement", *Appl. Opt.*, 37: 3097–3104, 1998.
- [3]. M. J. McGill, W. R. Skinner, and T. D. Irgang, "Analysis techniques for the recovery of winds and backscatter coefficients from a muti-channel incoherent Doppler lidar", *Applied Optics*, Vol. 36, 1253(1997)
- [4] D. Sun, Z. Zhong, J. Zhou, H. Hu, and T. Kobayashi, "Accuracy Analysis of the Fabry-Perot Etalon based Doppler Wind Lidar", *Optical Review*, Vol. 12, 409(2005)